1.Classificação INPE-COM.10/PE 2.Periodo 4.Critério de Distribuição: julho de 1976 C.D.U.: 551,507.362.2:.508.2:508.76 3. Palavras Chave (selecionadas pelo autor) interna VHRR, IMAGENS, METEOROLOGIA, SATÉLITES externa 5. Relatorio no 6.Data 7. Revisado por -INPE-902-PE/023 julho de 1976 Marlene Elias 8. Título e Sub-Título 9. Autorizado por -UM SISTEMA DE AQUISIÇÃO E PROCESSAMENTO DE Jarada IMAGENS DE ALTA RESOLUÇÃO TRANSMITIDAS Nelson de Jesus Parada POR SATÉLITES METEOROLÓGICOS Diretor 10. Setor CEA/SEM Codigo 413 11.No de copias - 10 12. Autoria J. R. de Oliveira e V. Rodrigues 14.Nº de paginas - 18 15.Preço 13. Assinatura Responsavel () line and

16. Sumario/Notas

Desenvolveu-se um sistema de recepção e processamento de <u>i</u> magens de alta resolução, transmitidas pelos satélites da série NOAA, para fins de pesquisa e previsão meteorológicas. O sinal transmitido pelos sa télites é recebido sendo a subportadora gravada para reprodução posterior a uma velocidade quatro vezes menor. A demodulação FM é feita pelo proces so de detecção digital. Cada linha da imagem é digitalizada e armazenada na memória de um minicomputador. Os dados são retirados da memória e en viados a um impressor fotográfico de precisão. A tambor do impressor gera pulsos que comandam a saída das linhas e sua rotação está sincronizada com o sinal de video. Serão apresentados detalhes do sistema de aquisição e processamento e as imagens obtidas em papel fotográfico.

17. Observações Trabalho a ser apresentado na 28a. Reunião Anual da Socie dade Brasileira para o Progresso da Ciência, de 7 a 14 de julho de 1976, em Brasilia.

UM SISTEMA DE AQUISIÇÃO E PROCESSAMENTO DE IMAGENS DE ALTA RESOLUÇÃO TRANSMITIDAS POR SATÉLITES METEOROLÓGICOS

por

J. R. de Oliveira e V. Rodrigues

Instituto de Pesquisas Espaciais - INPE

São José dos Campos - SP - Brasil

RESUMO

Desenvolveu-se um sistema de recepção e processamento de imagens de alta resolução, transmitidas pelos satélites da série NOAA, para fins de pesquisas e previsão meteorológicas. O sinal transmitido pe los satélites é recebido sendo a subportadora gravada para reprodução posterior a uma velocidade quatro vezes menor. A demodulação FM é feita pelo processo de detecção digital. Cada linha da imagem é digitalizada e armazenada na memória de um minicomputador. Os dados são retirados da memória e enviados a um impressor fotográfico de precisão. A tambor do impressor gera pulsos que comandam a saída das linhas e sua rotação es tá sincronizada com o sinal de vídeo. Serão apresentados detalhes do sistema de aquisição e processamento e as imagens obtidas em papel foto gráfico.

1. INTRODUÇÃO

Desde 1966, o INPE vem desenvolvendo sistemas de recepção e utilizando imagens transmitidas por satélites meteorológicos. Como resultado de uma evolução permanente, em 1972 surgiram os satélites da série ITOS/NOAA, capazes de transmitir imagens de alta resolução, em duas bandas espectrais, geradas pelos radiômetros VHRR (Very High Resolution Radiometer).

Estes radiometros detectam por um processo de varredura, a radiação proveniente da Terra, na banda espectral do visível (0,5 μ m a 0,7 μ m) e na do infravermelho termal (10,5 μ m a 12,5 μ m). Eles giram com uma velocidade de 400 rotações por minuto e apresentam uma resol<u>u</u> ção, no solo, de cerca de 0,9 km. Os satélites estão a uma altura de <u>a</u> proximadamente 1400 km em orbitas heliosíncronas.

Existem dois modos de operação. Um e o modo normal, no qual os radiometros trabalham em defasagem de 180, o que permite a multiplexação temporal dos canais visível e infravermelho. O sinal, assim obtido, modula, em FM, uma subportadora de 99 kHz, que por sua vez modula em FM, a portadora na banda-S (1697,5 MHz). O outro, e o modo de reserva, no qual a multiplexação dos canais e feita em frequência.

2. CARACTERÍSTICAS DO SINAL TRANSMITIDO

No modo normal, os canais visível e infravermelho são transmitidos através de uma subportadora de 99 (± 1,4) kHz modulada,

em frequência, com desvio de \pm 29 kHz. A banda espectral do sinal de $v\bar{1}$ deo \bar{e} de 35 kHz para ambos os canais. Para a transmissão pelo modo de reserva, utilizam-se duas subportadoras, sendo uma em 99 (\pm 1,4) kHz e outra em 249 (\pm 1,2) kHz, ambas com desvio de \pm 29 kHz. A subportadora de 99 (\pm 1,4) kHz opera somente com o canal infravermelho e a de 249 (\pm 1,2) kHz com o canal visível. A forma do sinal de vídeo, para o modo normal, está representada na Figura 1.

3. FUNCIONAMENTO DO SISTEMA

As subportadoras são armazenadas num gravador analógico (Ampex FR 1900). A velocidade de reprodução é quatro vezes menor que a de gravação. Com resultado da mudança na velocidade há uma expansão temporal no sinal, o que implica numa compressão em frequências. Pelo teorema do escalonamento temporal, o espectro de um sinal f(at) é dado por $F(\omega/a)/|a|$.

O sinal reproduzido é demodulado e enviado simultaneamen te para o detector de sincronismo e o conversor analógico-digital. O pulso de sincronismo detectado serve como uma das entradas do circuito de servo-controle e comanda o disparo do conversor A/D. A função do circuito cuito de servo-controle é manter constante a rotação do tambor do impressor fotográfico; desta maneira, garante-se a coerência entre o núme ro de linhas que entram na memória e a quantidade de linhas impressas.

As palavras resultantes da conversão A/D são armazenadas, por um determinado tempo, na memória do minicomputador. A retirada e reconversão para o analógico é comandada por um pulso gerado pelo impres

sor fotografico.

4. DEMODULADOR

O diagrama do demodulador se encontra na Figura 3.

- Filtro de Seletividade

Objetiva selecionar a subportadora, 99/4 kHz ou 249/4 kHz, a ser demodulada em frequência, e atenuar a conversão cruzada. De acordo com as especificações do projeto, procurou-se manter um compromisso entre seletividade e características lineares de fase. Um filtro que satisfaz a estas condições $\tilde{\rm e}$ resultante da composição serie de um passabaixas com um passa-altas de características Butterworth.

As bandas espectrais dos sinais modulados foram calculadas através da lei de Carson, isto é, B = 2 (Δf + W), onde, Δf é o desvio máximo das subportadoras, e W a banda espectral de video. Neste caso, Δf = 29/4 kHz e W = 35/4 kHz.

- Limitador/Quadrador

A subportadora selecionada passa por este circuito para normalizar a onda. É utilizada a técnica de limitação com diodos, e ampliação linear, em vários estágios.

O circuito apresenta imunidade a ruido, e assegura uma forma de onda simétrica.

- Gerador de Pulsos

Emprega a técnica de gerar pulsos com largura fixa a cada semi-ciclo do sinal modulado. De acordo com as características des te sinal, existe uma largura ótima de pulso, que proporciona a maior am plitude de sinal demodulado. A largura ótima foi calculada em relação ao período T da subportadora dobrada e obteve-se, τ = 0,84T. A amplitu de do sinal demodulado é então dada por H = 0,49 x (amplitude dos pulsos).

- <u>Filtro</u> de Video

A função deste filtro $\bar{\bf e}$ separar o sinal de video das ou tras componentes, resultantes da operação, não linear, de geração dos pulsos. Foi usado um filtro com características de Bessel objetivando $\underline{\bf e}$ vitar o fenômeno de "overshoot", nas variações rāpidas do sinal.

5. DETECTOR DE SINCRONISMO

No sinal de video ha um trem de pulsos precursosres, que permitem diferenciar o pulso de sincronismo do canal <u>visivel</u> do <u>pulso do infravermelho</u>, como mostra a Figura 1 e, mais detalhadamente a Figura 4.

O detector de sincronismo se constitui de um circuito, que isola os pulsos precursores e, a partir destes, abre-se uma porta analógica que deixa passar somente o pulso de sincronismo desejado. Ver Figura 5.

6. SERVO-CONTROLE

O servo-controle realiza o controle de fase entre os pulsos de sincronismo e os de referência do impressor.

A precisão do controle e da ordem de grandeza de um elemento da imagem. O circuito consta de um VCO (oscilador controlado por tensão) cuja tensão de controle e obtida de um contador ligado a um conversor digital-analógico de oito bits. O diagrama de blocos do circuito e apresentado na Figura 6. O erro de fase e constatado pela contagem de pulsos de relógio, que aparecem no intervalo de tempo entre os pulsos de sincronismo e os do impressor.

O valor da contagem é convertido em sinal analógico que por sua vez corrige a frequência do VCO, até obter-se o ponto de estabilidade.

PROCESSAMENTO DIGITAL

O sinal de vídeo é amostrado a uma taxa de 18680 amos tras por segundo, que correspondem aproximadamente a 3400 pontos por linha de imagem. Estes pontos são armazenados na memória de um minicom putador PDP 11/10 por meio de um D.M.A., comandado por um "interrupt" (sinal de interrupção) enviado pelo pulso de sincronismo. Em tempo com partilhado, os pontos (palavras de 8 bits) jã armazenados são retirados da memória, em intervalos de 100 μ s, determinados por um relógio interno. Esta operação é iniciada pelos pulsos emitidos a cada rotação do

tambon do impressor. Veja Figura 7.

A palavra correspondente a cada amostra sofre uma correção de gama de cinza para obter-se fotos convenientemente contrastadas.

O metodo de correção consiste em retirar a palavra da memoria e transforma-la num endereço, cujo conteúdo e o valor corrigido. O próximo passo, depois de completada a correção, consiste em enviar o valor corrigido ao conversor D/A.

Na Figura 8 encontram-se, esquematizadas, as curvas de correção convenientes a cada canal.

A seguir, o sinal analogico e mandado à <u>lâmpada de crate</u>

<u>ra</u> do impressor que fornece a luminosidade necessária para sensibilizar o filme.

8. IMPRESSOR FOTOGRAFICO

Consta de um tambor rotativo, que suporta o filme foto grafico, acionado por um motor sincrono, o qual gera um pulso a cada revolução. Este pulso $\bar{\rm e}$ produzido por um diodo LED, emissor de luz $\bar{\rm in}$ fravermelha, que $\bar{\rm e}$ captada por um transistor fotossensível.

As caracterísitcas principais do impressor são:

- dimensões do tambor: 3.52 pol. de diam. x 10 pol.

- rotação do tambor: de 60 a 120 rpm

- densidade de varredura: 500 linhas/pol.

- resolução lateral: 10-0 elementos/pol.

- sinal de entrada: 0 a +5 V

- banda de video: DC a 10 kHz ±1 dB

9. CONCLUSÃO

O sistema apresentado neste trabalho e relativamente sim ples, quando comparado aos similares existentes. Reproduz fotos do visivel e do infravermelho, de qualidade altamente satisfatoria para fins meteorológicos. Encontra-se em fase operacional, e alguns aperfeiçoamen tos estão sendo introduzidos, tais como:

- marcas de referência para localização geográfica e mapeamento;
- correção da deformação geométrica devida à curvatura terrestre; e,
- acesso conversacional ao minicomputador.

Alem disto estão sendo realizados estudos visando sua adaptação à recepção de imagens transmitidas por satelites meteorologi cos geosincronos.

AGRADECIMENTOS

Gostariamos de expressar os nossos agradecimentos ao Dr. Luiz Gylvan Meira Filho, pelo apoio dado desde o inicio deste projeto, ao Dr. Claudio R. Sonnemburg, pela valiosa contribuição, e à Sra. Sueli A. de Godoi Guratti pela datilografia do manuscrito.

BIBLIOGRAFIA

- FORTUNA, J. J., L. N. HAMBRICK, The Operation of the NOAA Polar Satellite System. Washington, D.C., U. S. Department of Commerce, November 1974. (NOAA TM NESS 60).
- GRUENBERG, E. L. (Editor), Handbook of Telemetry and Remote Control.

 New York, McGraw-Hill, 1967.
- SCHWALB. A., Modified Version of the Improved TIROS Operational Satellite (ITOS D-G). Washington, D.C., U. S. Department of Commerce, April 1972. (NOAA TM NESS 35).
- VERMILLION, C. H. and J. C. KAMOWSKI, Weather Satellite Picture

 Receiving Satation, APT Digital Scan Converter. Washington, D. C.,

 NASA, May 1975. (NASA TN D-7994).
- VONDER HAAR T. H., D. REYNOLDS and L. LILIE, Direct Readout

 Meteorological Satellite Data Processing with a Low-cost Computer

 Lincked System. Colorado, Colorado State University, September,

 1974. (Paper nº 227).

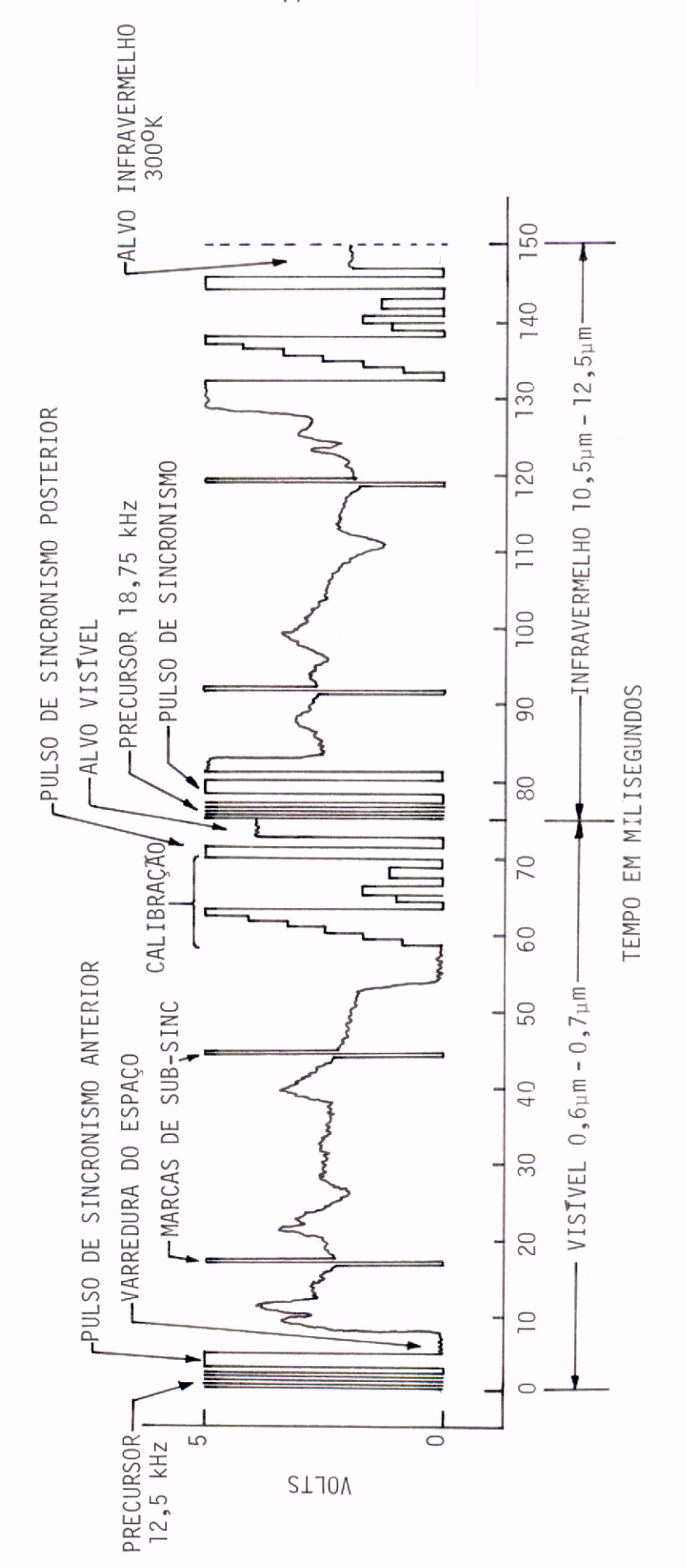
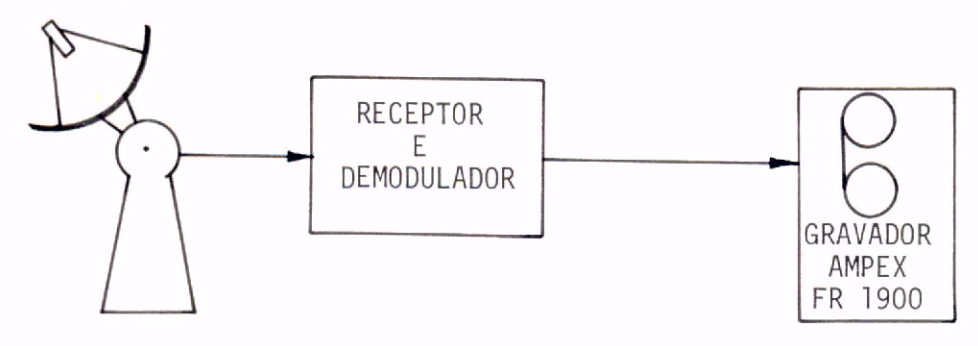


Fig. 1 - Características do sinal de vídeo

GRAVAÇÃO



Velocidade de gravação: 30 pol/s Taxa do sinal: 400 linha/min Tempo de gravação: ∿ 20 min

Velocidade de reprodução: 7 1/2 pol/s

Taxa do sinal: 100 linhas/min Tempo de reprodução: ∿ 80 min

REPRODUÇÃO

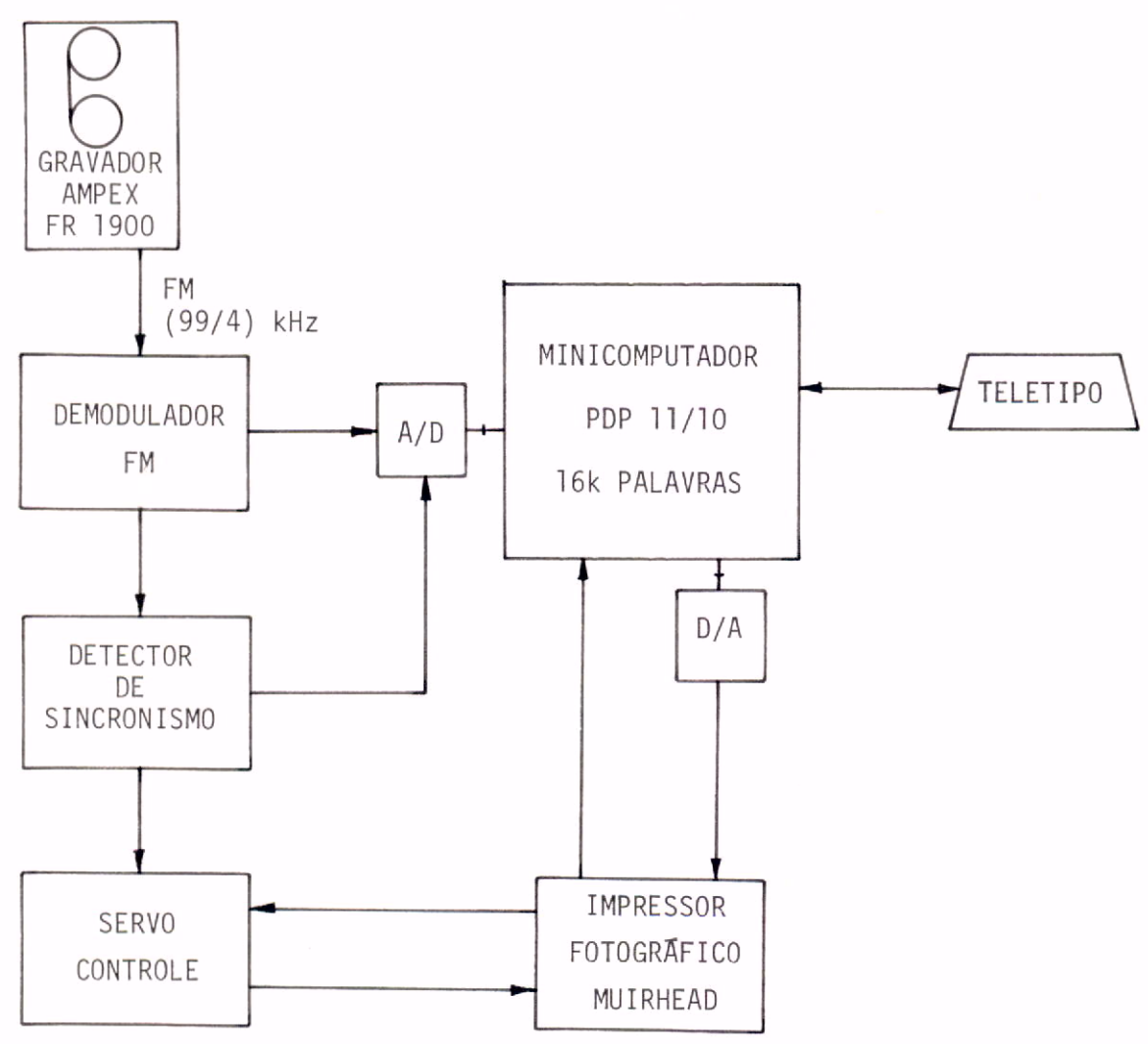


Fig. 2 - Diagrama geral do sistema de aquisição de imagens VHRR.

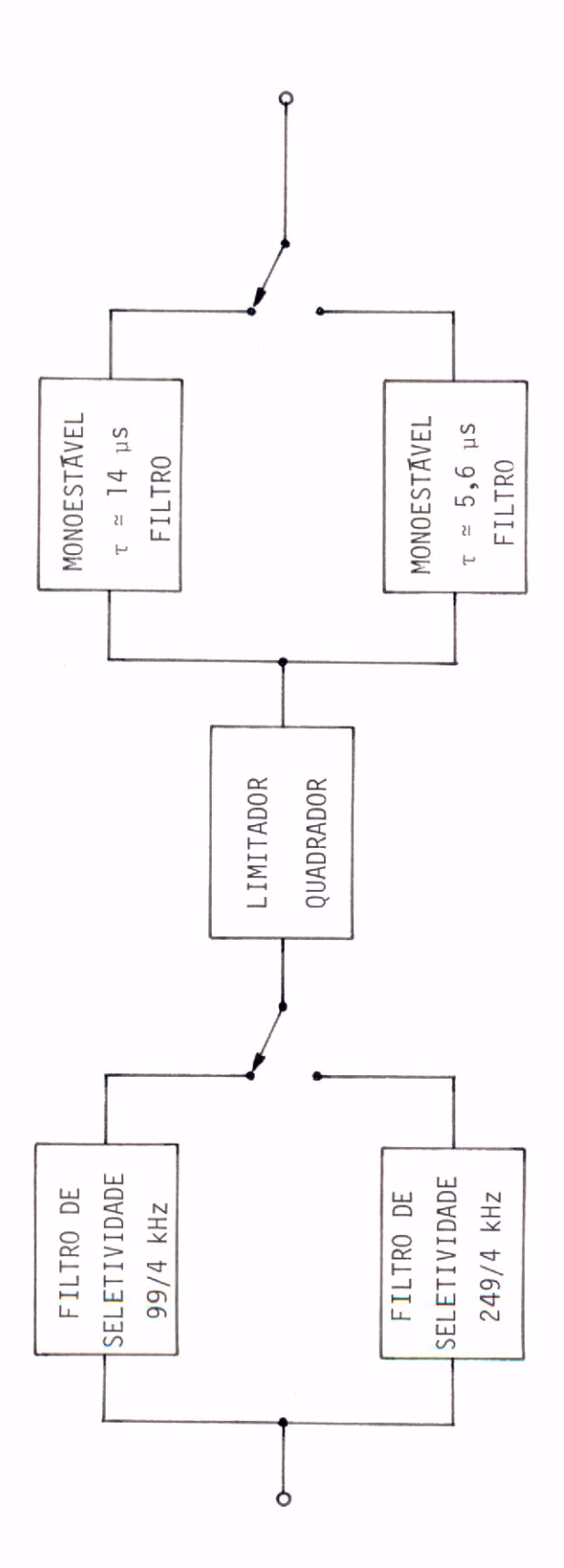
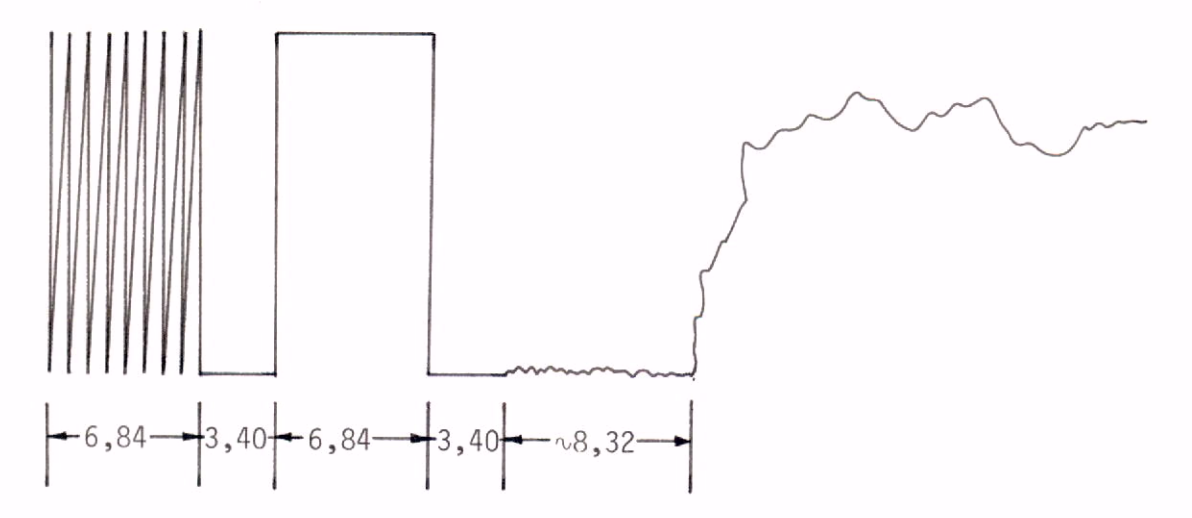


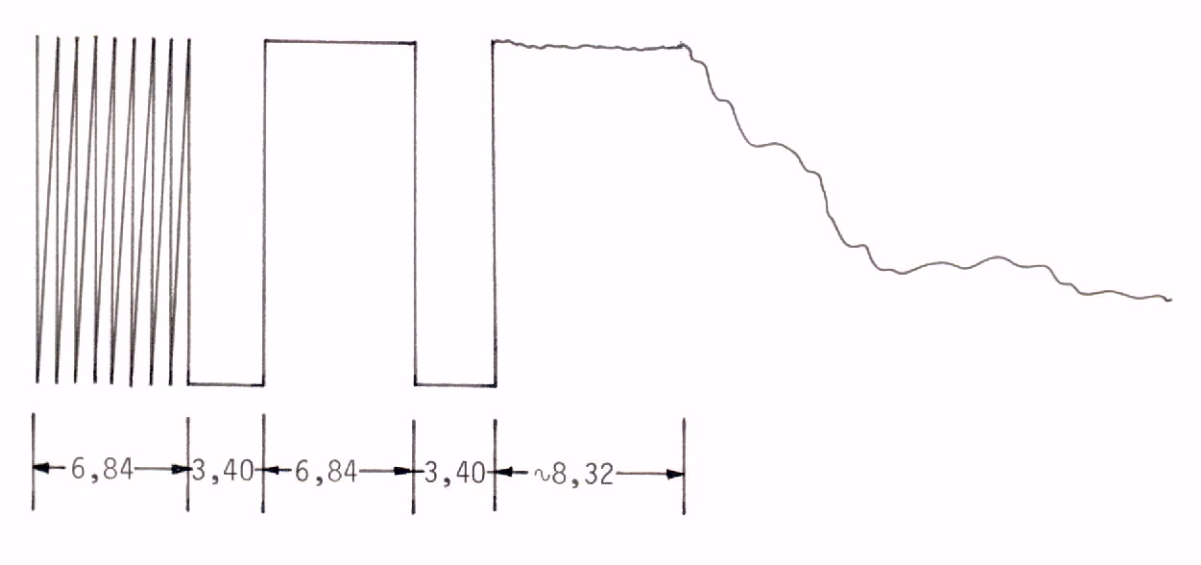
Fig. 3 - Demodulador FM.

VISTVEL



3,13 kHz

INFRAVERMELHO



4,69 kHz

- valores em milisegundos -

Fig. 4 - Detalhes dos pulsos de sincronismo

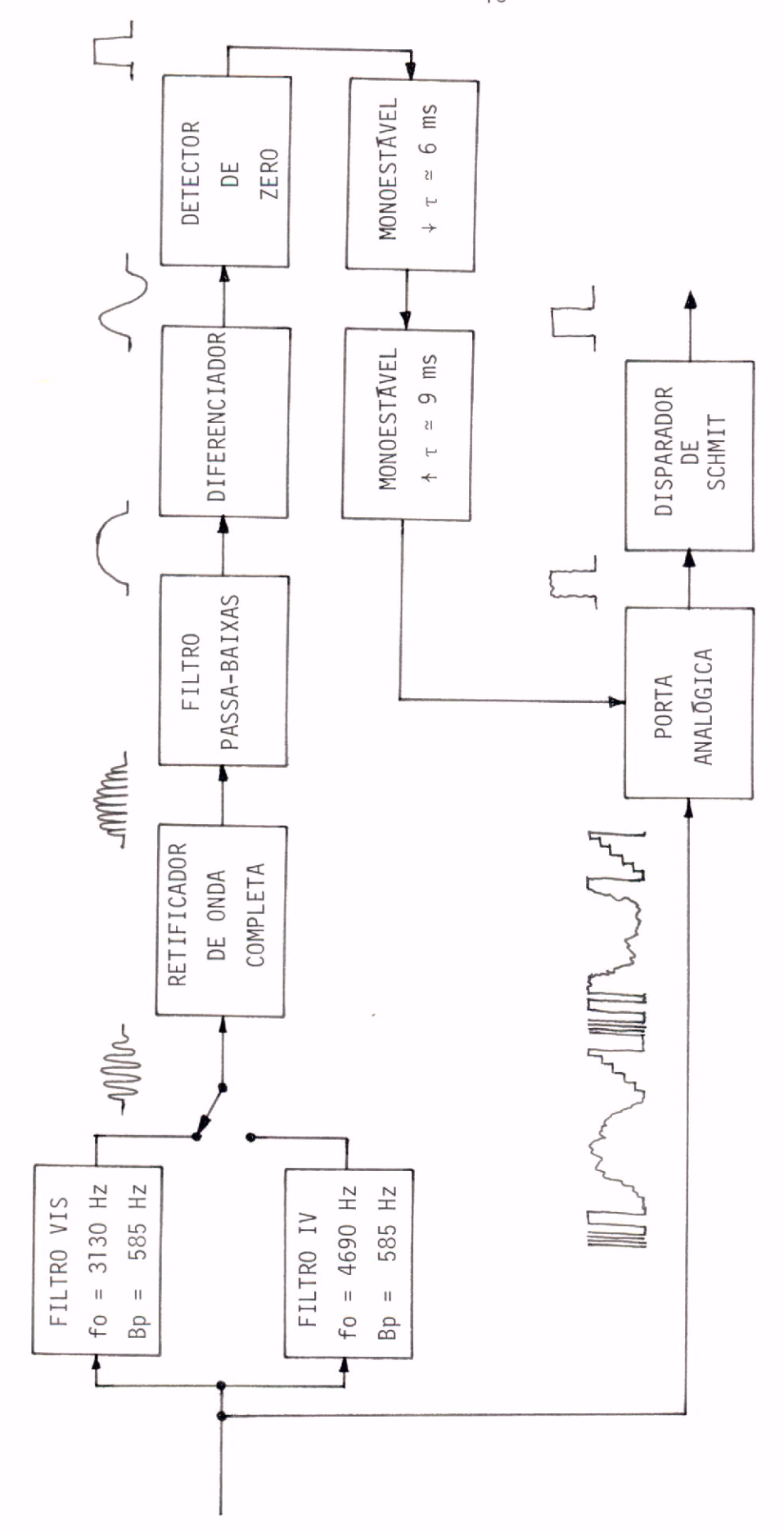


Fig. 5 - Detector de sincronismo

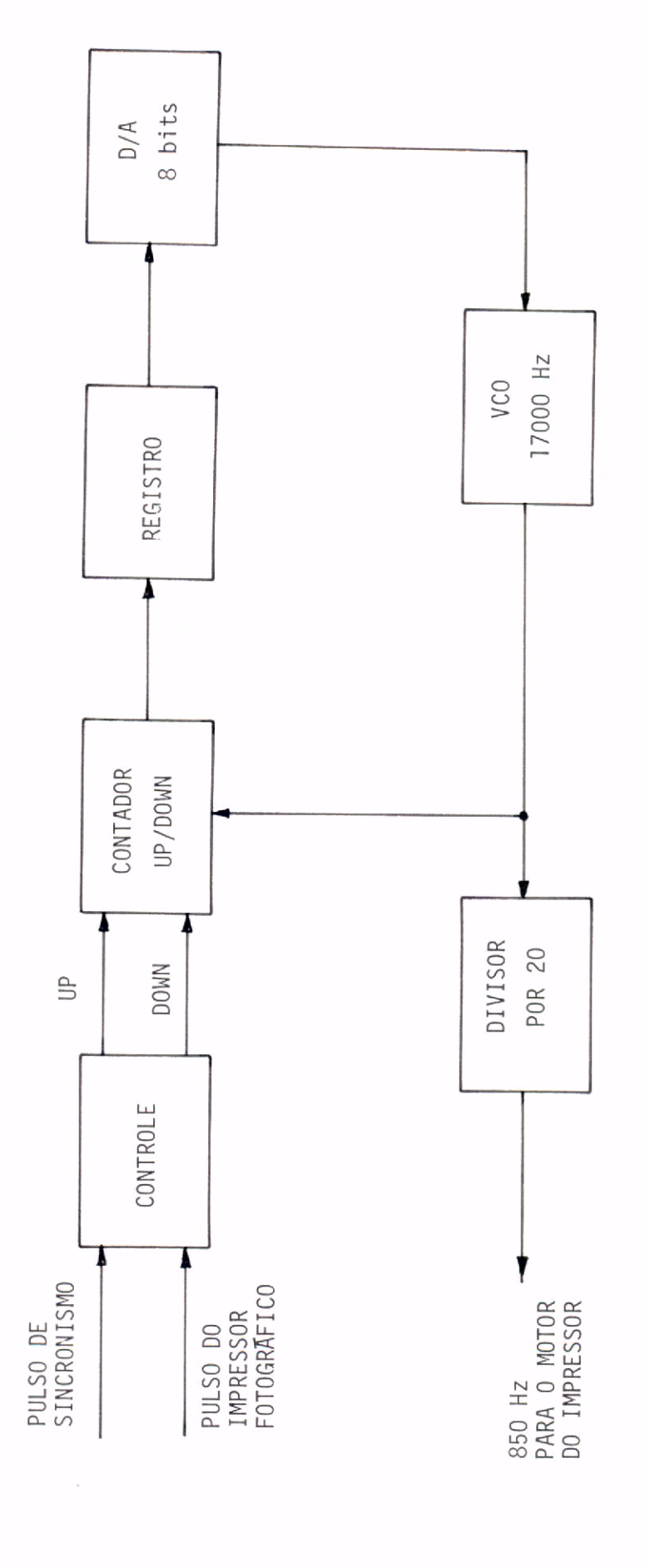


Fig. 6 - Controle de rotação do tambor do impressor fotográfico

Rotina que retira cada ponto (palavra) da memoria e transfere ao D/A apos fazer a correção de GAMA

Rotina que inicializa o LPS 11 (A/D e DMA) para transferir as palavras para a memória

Rotina para inicializar o relogio KW 11 que da as interrupções a cada 100 µs

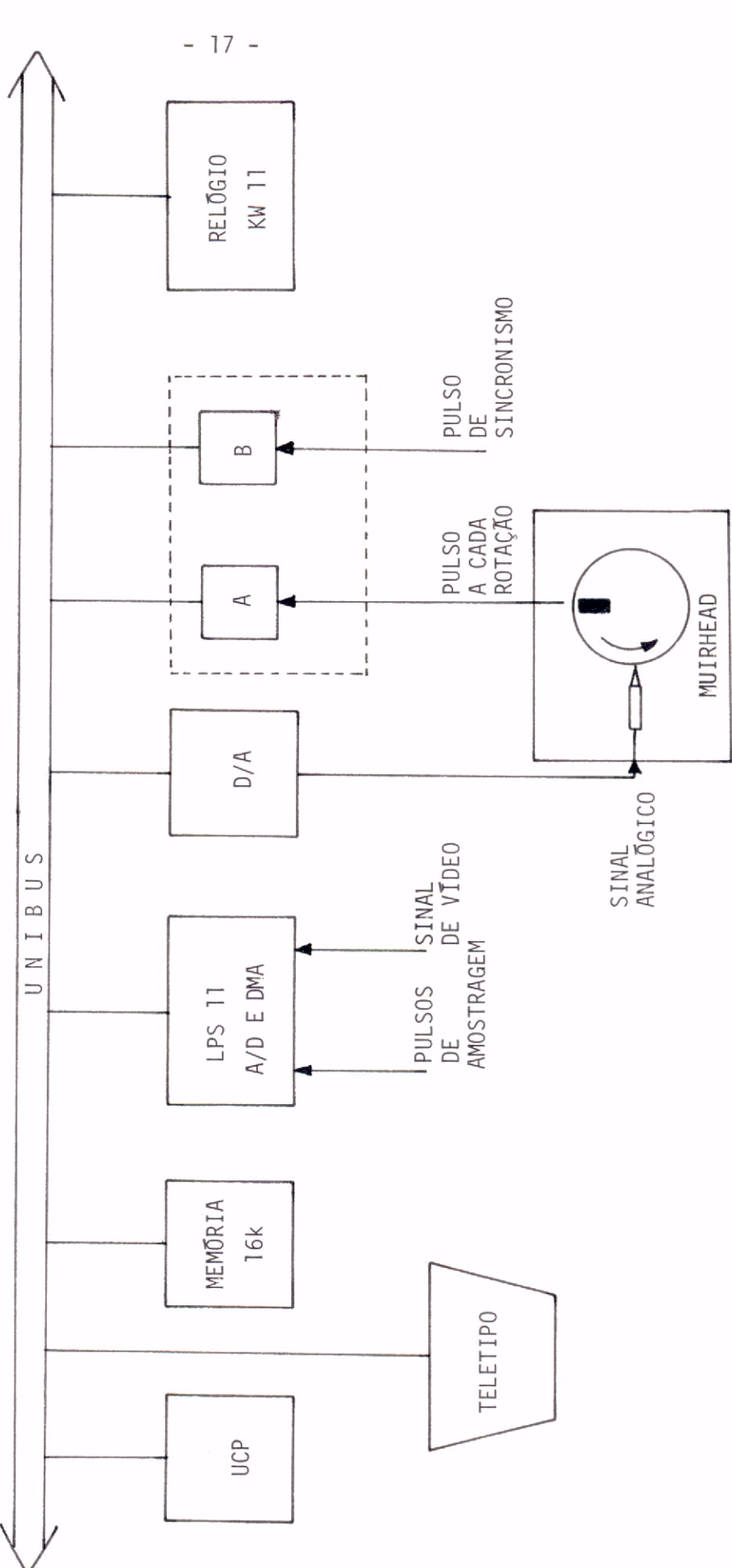
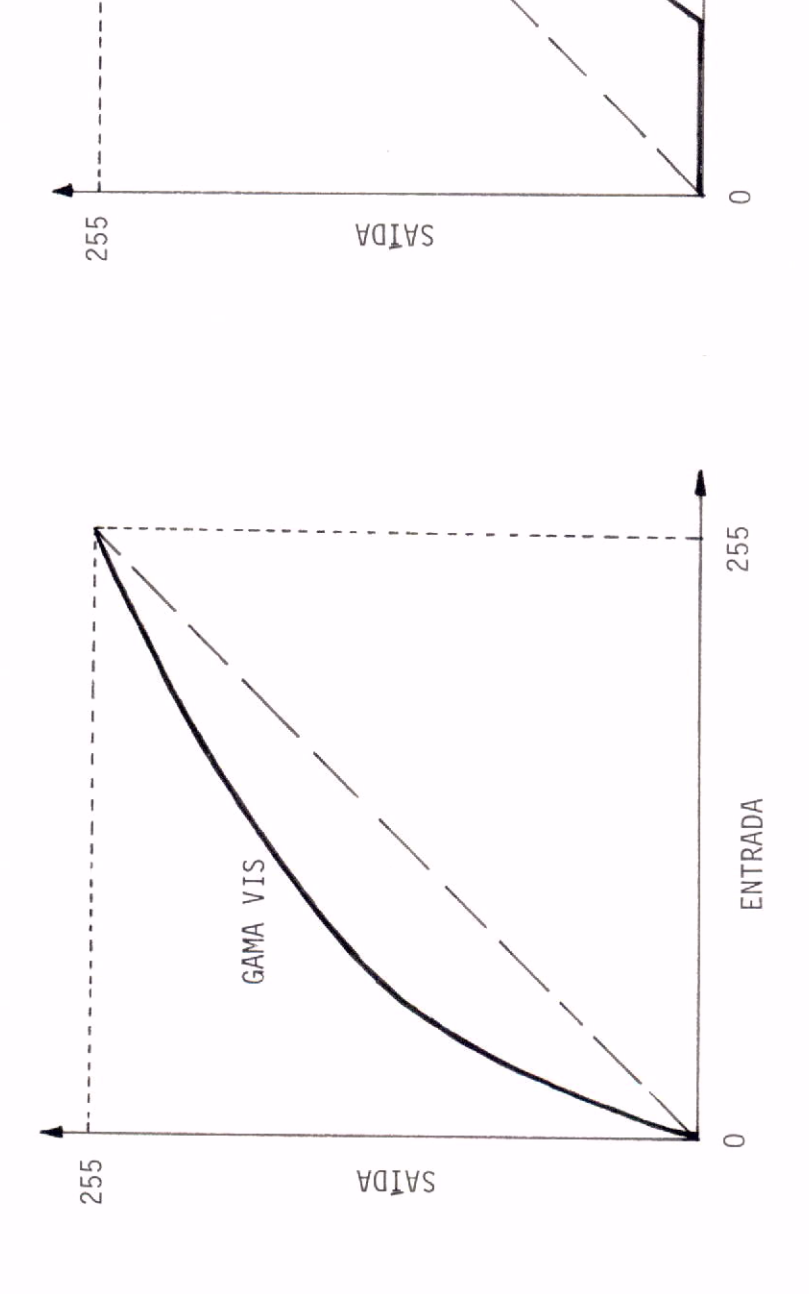


Fig. 7 - Diagrama do processamento digital da imagem

GAMA IV



- Curvas de correção de gama para o visível e infravermelho Fig. 8

255

ENTRADA